

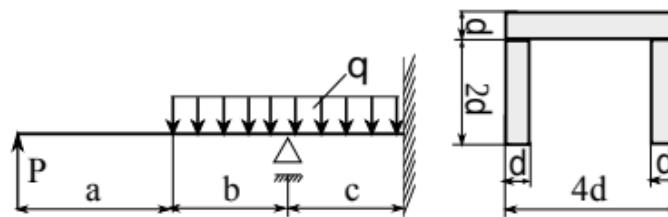
Projekt 2 - Modelowanie zagadnień lepkich za pomocą szeregu Prony

Michał Siodła

13M5 P02

22.04.2025

Rozpatrywany przykład:



$$\begin{aligned} a &= 1 \text{ m} & b &= 1 \text{ m} & c &= 2 \text{ m} \\ P &= 2 \text{ kN} & M &= 0 \text{ Nm} & q &= 500 \text{ N/m} \\ d &= 3 \text{ cm} \\ \rho &= 1350 \text{ kg/m}^3 & E &= 3,1 \text{ GPa} & \nu &= 0,25 \end{aligned}$$

1. Obliczenia analityczne:

$$\begin{aligned} E_0 & & \nu_0 & \\ E &= 3,1 \text{ GPa} & \nu &= 0,25 \end{aligned}$$

Czas [h]	Odkształcenie [%]		Napężenie [MPa]	
10	ε_1	0.26	σ_1	6.20
100	ε_2	0.29	σ_2	6.52

$$g = \frac{G(t)}{G_0}, \quad g \in (0,1)$$

$$G(t) = \frac{E(t)}{2[1 + \nu(t)]}$$

$$G_0 = \frac{E_0}{2(1 + \nu_0)}$$

$$\begin{aligned} E_0 &= 3,1 \text{ [GPa]} = 3,1 * 10^9 \text{ [Pa]} \\ \nu_0 &= 0,25 \text{ [-]} \end{aligned}$$

$$E(t) = \frac{\sigma_2}{\varepsilon_2}$$

$$\nu(t) = 0,5 [-]$$

$$\sigma_2 = 6,52 [MPa] = 6,52 * 10^6 [Pa]$$

$$\varepsilon_2 = 0,29 [\%] = 0,29 * 10^{-2} [-]$$

$$g = \frac{G(t)}{G_0} = \frac{\frac{\frac{\sigma_2}{\varepsilon_2}}{2[1 + \nu(t)]}}{\frac{E_0}{2(1 + \nu_0)}} = \frac{\frac{6,52 * 10^6}{0,29 * 10^{-2}}}{\frac{3,1 * 10^9}{2(1 + 0,25)}} = 0.604375 [-]$$

Współczynnik modułów ścinania: **$g = 0.604375 [-]$**

$$\tau = \frac{\eta(t)}{E(t)}$$

$$E(t) = \frac{\sigma_2}{\varepsilon_2}$$

$$\eta(t) = \frac{\sigma_2}{\dot{\varepsilon}}$$

$$\dot{\varepsilon} = \frac{\varepsilon_2 - \varepsilon_1}{t_2 - t_1}$$

$$\sigma_2 = 6,52 [MPa] = 6,52 * 10^6 [Pa]$$

$$\varepsilon_2 = 0,29 [\%] = 0,29 * 10^{-2} [-]$$

$$\varepsilon_1 0,26 [\%] = 0,26 * 10^{-2} [-]$$

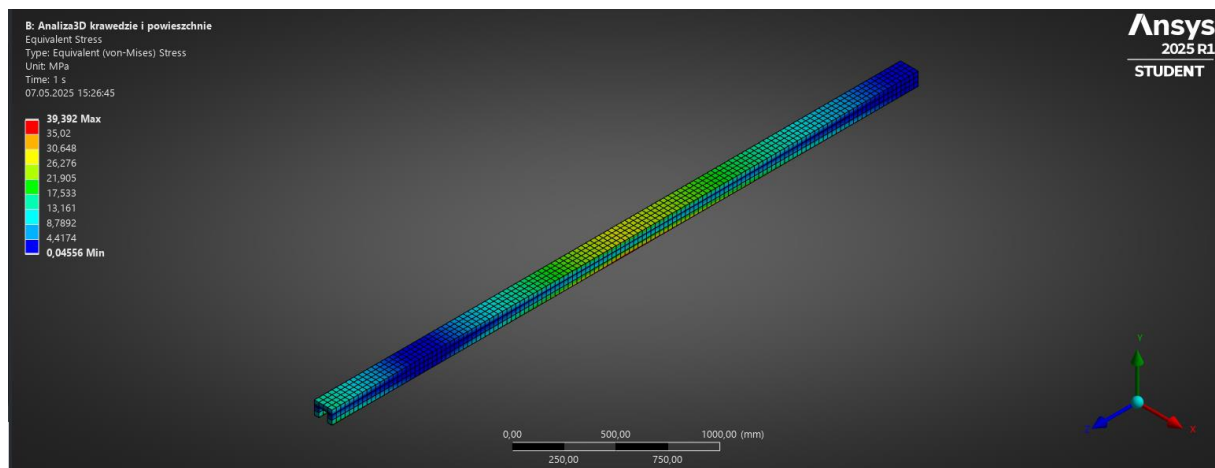
Lepkość dynamiczna: $\eta(t) = \frac{\sigma_2}{\dot{\varepsilon}} = \frac{6,52 * 10^6}{\frac{0,29 * 10^{-2} - 0,26 * 10^{-2}}{(100 - 10) * 3600}} = 7,0416 * 10^{15} [Pa * s]$

$$\tau = \frac{\eta(t)}{E(t)} = \frac{\frac{\sigma_2}{\dot{\varepsilon}}}{\frac{\sigma_2}{\varepsilon_2}} = \frac{\frac{\frac{\sigma_2}{\varepsilon_2 - \varepsilon_1}}{t_2 - t_1}}{\frac{\sigma_2}{\varepsilon_2}} = \frac{\frac{6,52 * 10^6}{0,29 * 10^{-2} - 0,26 * 10^{-2}}}{\frac{6,52 * 10^6}{0,29 * 10^{-2}}} = 3,132 * 10^6 [s]$$

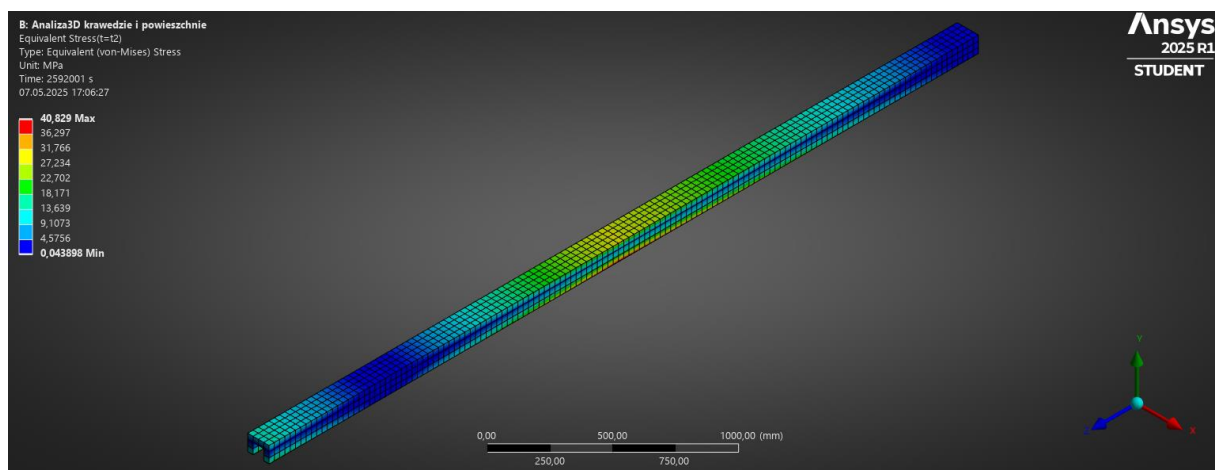
Czas relaksacji: **$\tau = 3,132 * 10^6 [s]$**

Obliczenia pozwoliły na uzyskanie niezbędnych do analizy wartości lepkości dynamicznej oraz elementów szeregu Prony. Lepkość dynamiczna wyniosła $\eta = 7,0416 * 10^{15} [Pa * s]$, Czas relaksacji $\tau = 3,132 * 10^6 [s]$ i współczynnik modułów ścinania $g = 0.604375 [-]$.

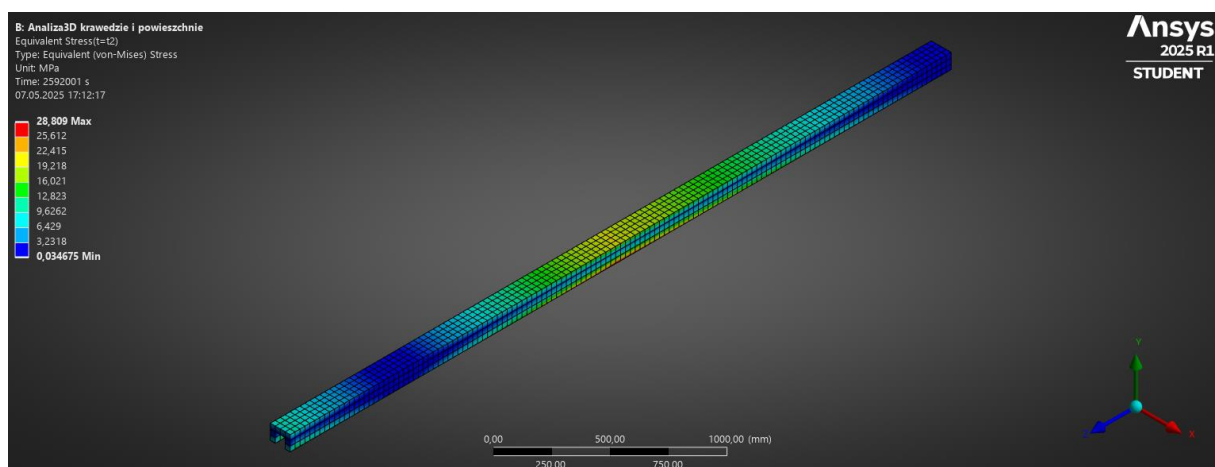
2. Wyniki analizy w programie ANSYS



Rys.1 wartość maksymalnego naprężenia HMH po przyłożeniu obciążeń (dla czasu $t = 0$)



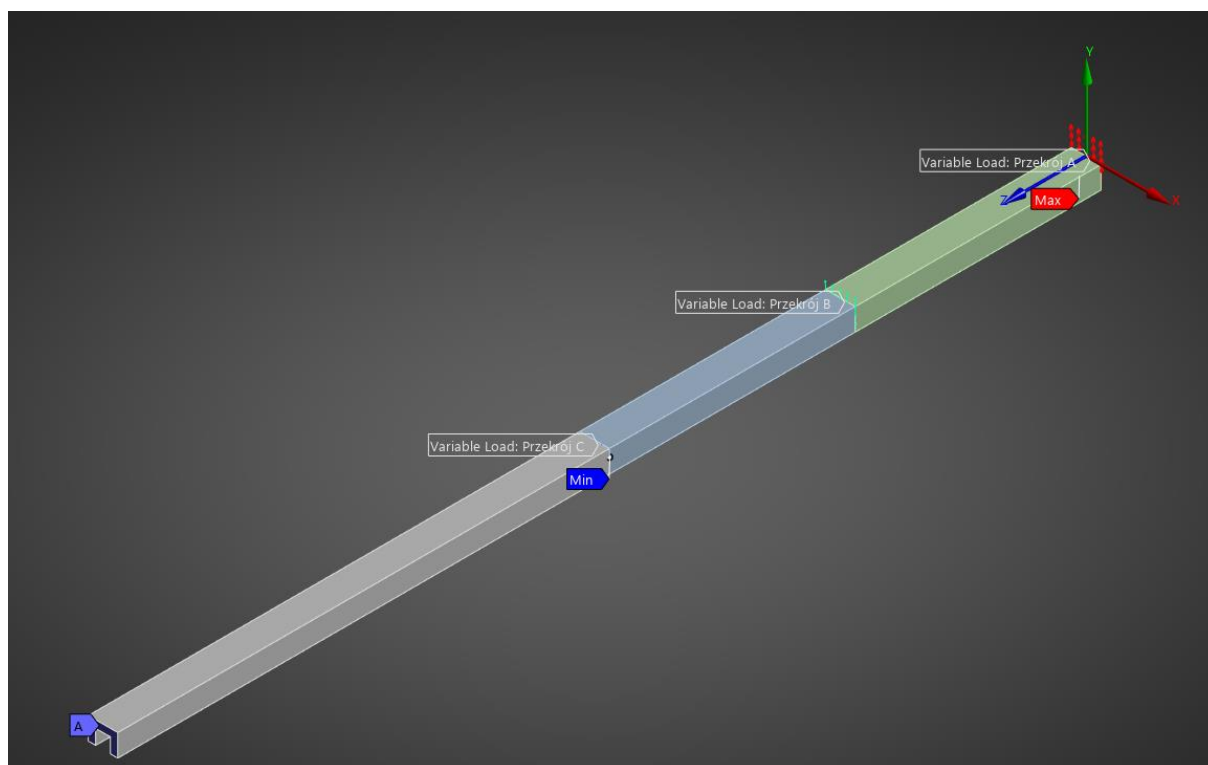
Rys.2 wartość maksymalnego naprężenia HMH dla zadanych przemieszczeń (dla czasu $t = t_2$) bez własności lepkich



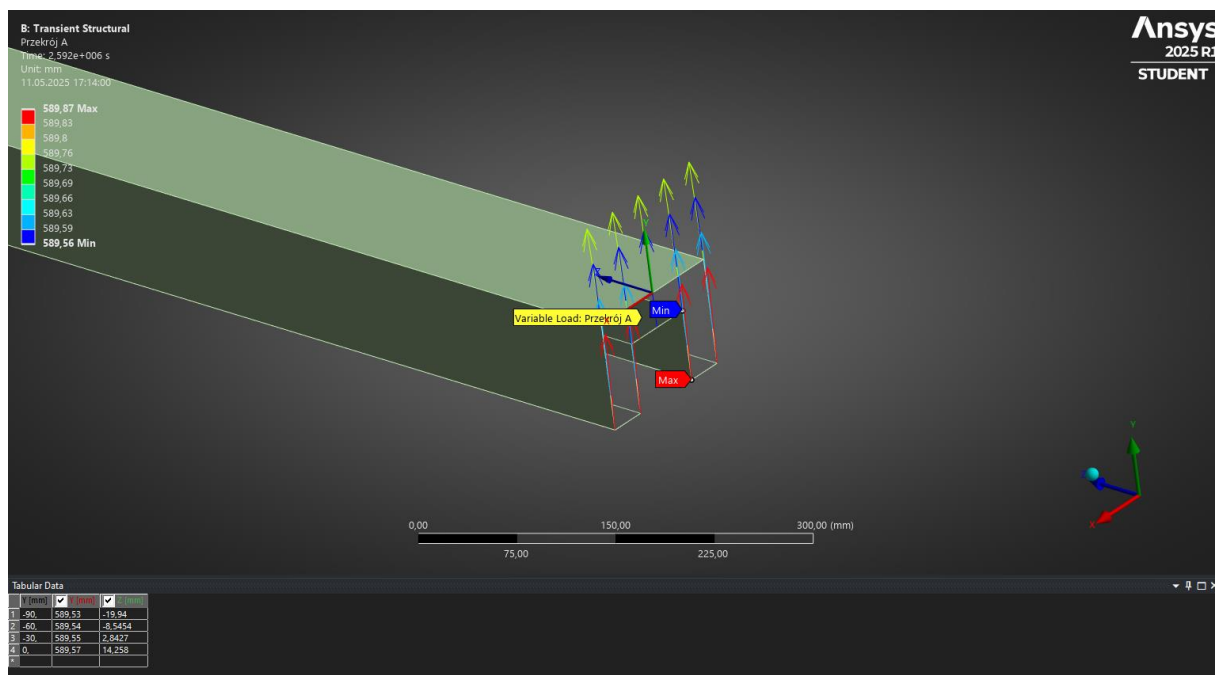
Rys.3 wartość maksymalnego naprężenia HMH dla zadanych przemieszczeń (dla czasu $t = t_2$) z własnościami lepkimi

Początkowo model obciążony siłami zewnętrznymi wykazywał naprężenia na poziomie 39,392 [MPa]. Po zamianie obciążeń na odpowiadające im przemieszczenia wartość naprężenia zmieniła się i wyniosła 40,829 [MPa]. Różnica względem pierwotnej wartości wynosi około 3,5 [%], wynika ona z niedokładnej transformacji obciążeń na wartości przemieszczeń. W analizie oparto się na wartościach przemieszczenia w osi y oraz z zmierzonych w trzech charakterystycznych punktach dla każdej z tych osi. Użycie większej ilości punktów oraz wszystkich osi mogło by zniwelować występującą niedokładność.

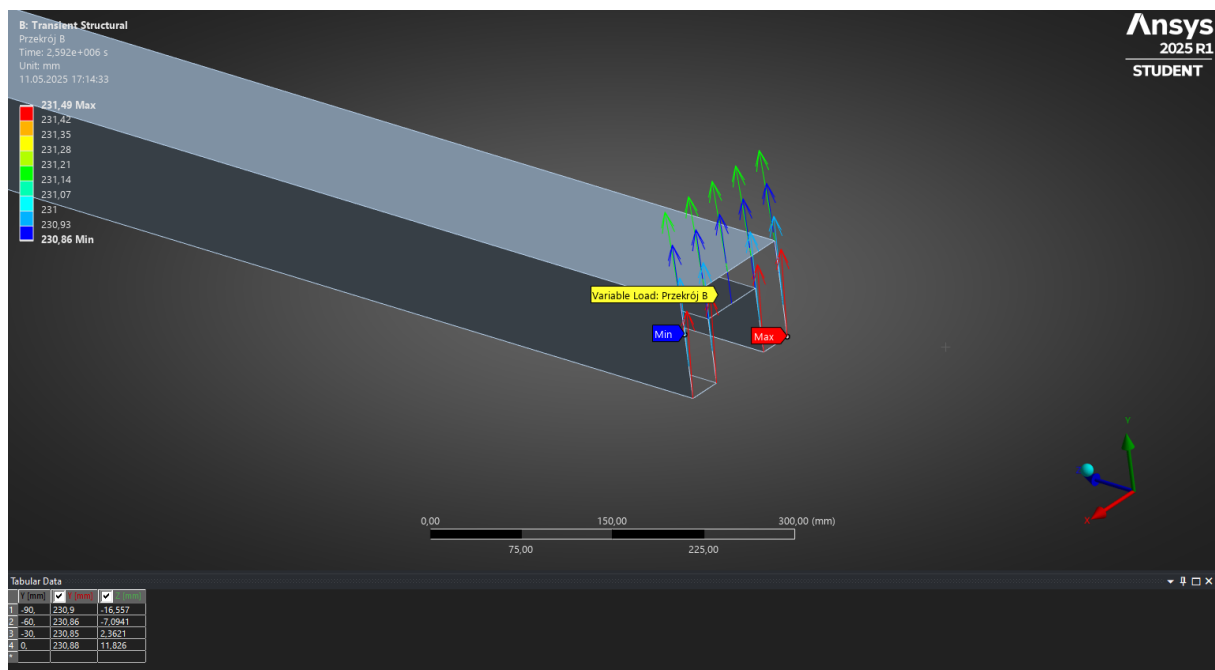
Wartości umieszczone w tabelach widocznych na Rys.5, Rys.6 i Rys.7 są zapisane względem lokalnego układu współrzędnych widocznego na Rys.4



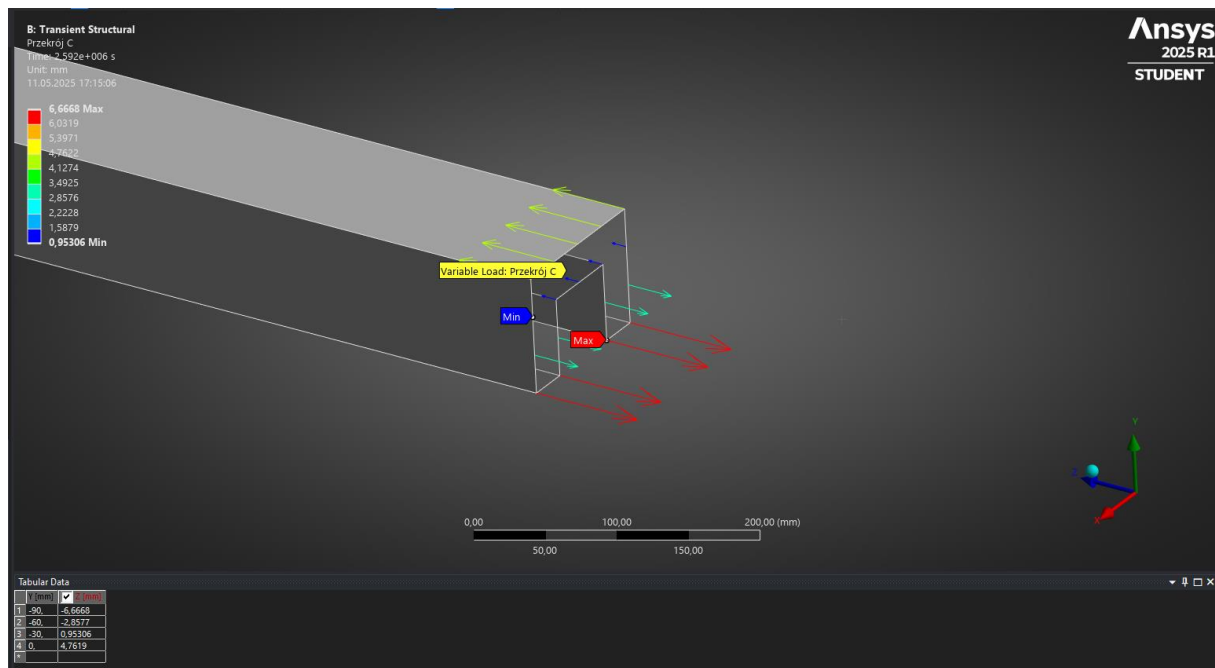
Rys.4 Mapy z wartościami składowych wektora przemieszczenia w poszczególnych przekrojach



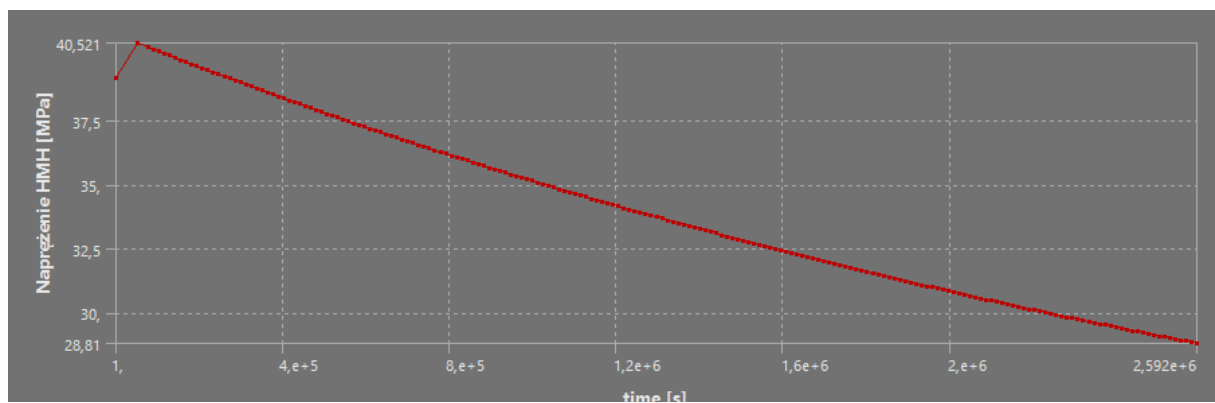
Rys.5 Zadane wartości wektora przemieszczenia w przekroju A



Rys.6 Zadane wartości wektora przemieszczenia w przekroju B



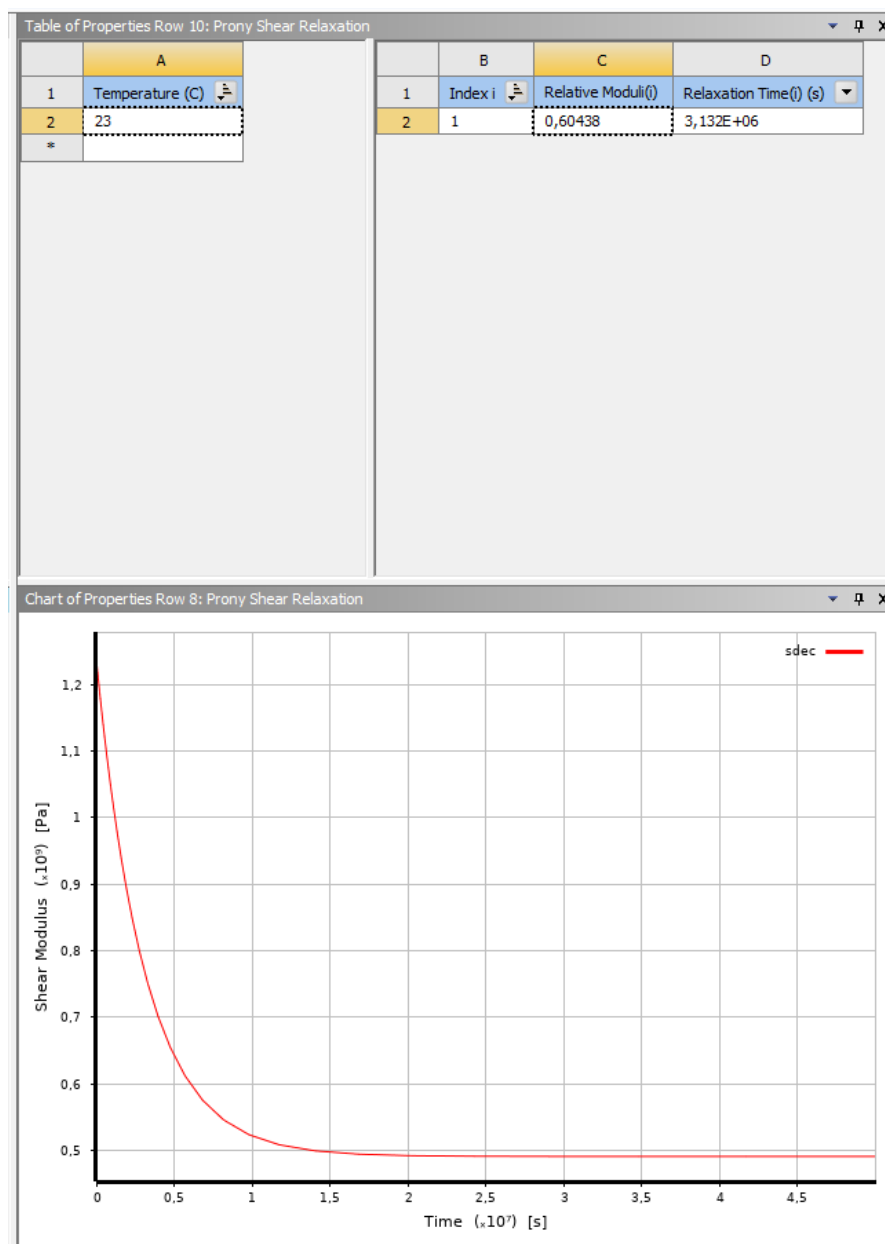
Rys.7 Zadane wartości wektora przemieszczenia w przekroju C



Rys.8 Wykres napężenie w czasie.

Wykres obrazuje proces relaksacji modelu, czyli zjawiska w którym wartość napężenia spada wraz z upływającym czasem przy stałym odkształceniu. Po upływie miesiąca wartość napężenia zmalała do 28,81 [MPa] z początkowych 40,521 [MPa].

3. Własności materiałowe



Rys.9 Ustawione parametry szeregu Prony

Properties of Outline Row 3: Nowy				
	A	B	C	D E
1	Property	Value	Unit	
2	Material Field Variables	Table		
3	Density	1350	kg m ⁻³	
4	Isotropic Elasticity			
5	Derive from	Young's Modulus and Poisson's ...		
6	Young's Modulus	3,1	GPa	
7	Poisson's Ratio	0,25		
8	Bulk Modulus	2,0667E+09	Pa	
9	Shear Modulus	1,24E+09	Pa	
10	Prony Shear Relaxation	Tabular		
11	Number of Terms	1		

Rys.10 Dane materiałowe